

ANNEXE

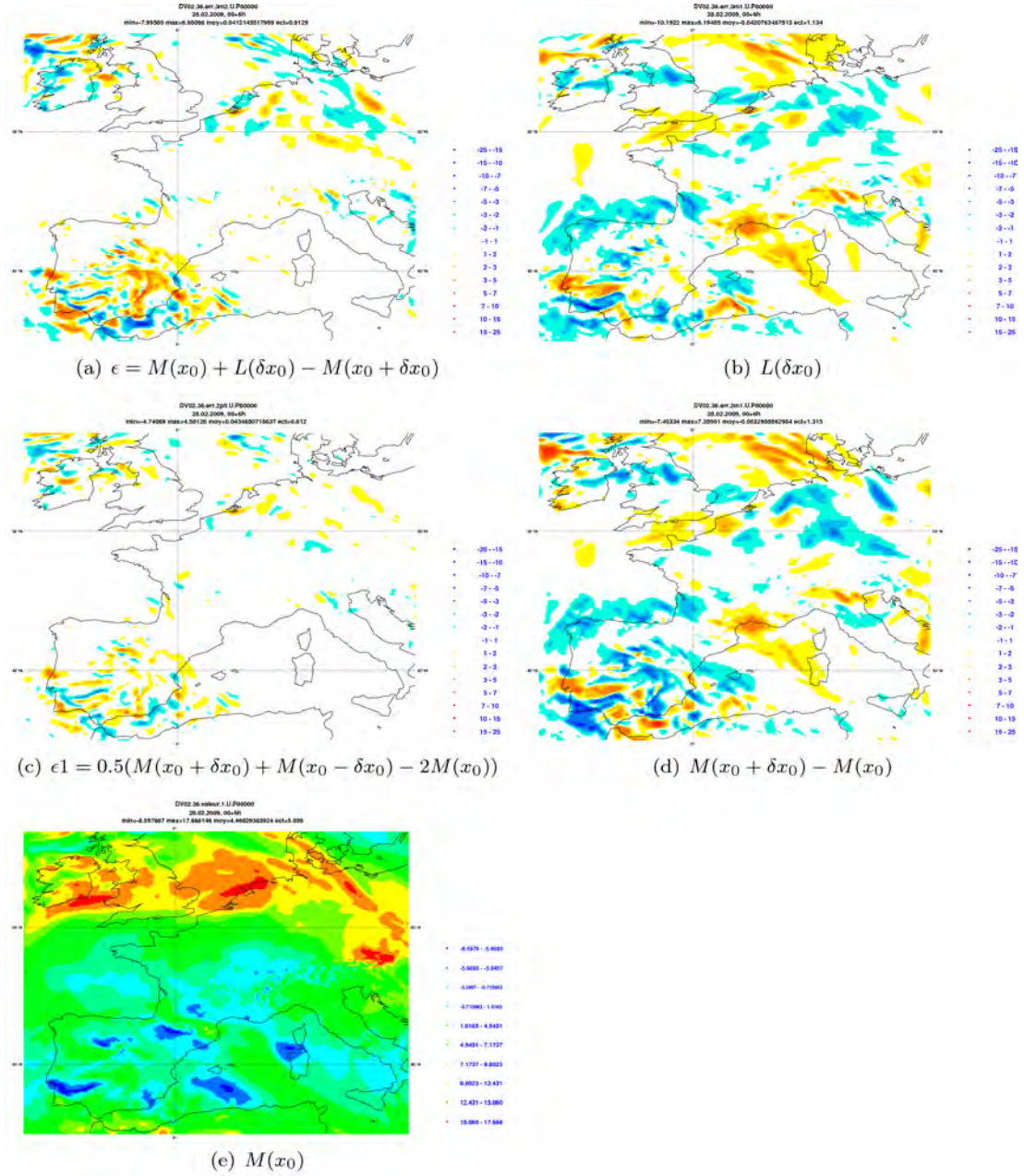


Figure 12: Composante zonale du vent sur le domaine franx01, au niveau 800 hPa, exp. DV, le 28.02.2009, 00+6h, pour $\epsilon = M(x_0) + L(\delta x_0) - M(x_0 + \delta x_0)$ (a), $L(\delta x_0)$ (b), $\epsilon_1 = 0.5(M(x_0 + \delta x_0) + M(x_0 - \delta x_0)) - 2M(x_0)$ (c), $M(x_0 + \delta x_0) - M(x_0)$ (d), $M(x_0)$ (e).

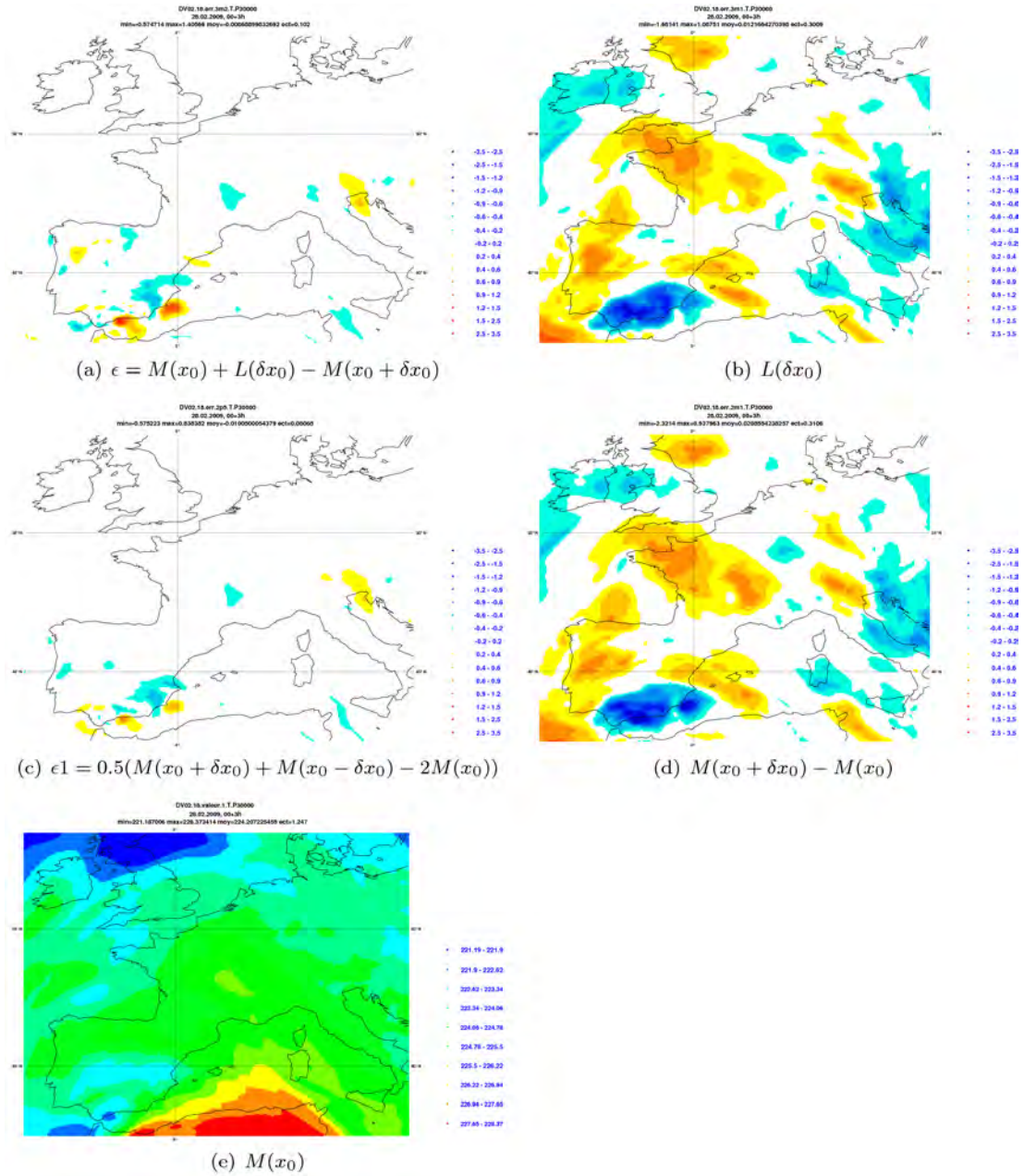


Figure 13: Température sur le domaine franx01, au niveau 300 hPa, exp. DV, le 28.02.2009, 00+3h, pour $\epsilon = M(x_0) + L(\delta x_0) - M(x_0 + \delta x_0)$ (a), $L(\delta x_0)$ (b), $\epsilon_1 = 0.5(M(x_0 + \delta x_0) + M(x_0 - \delta x_0) - 2M(x_0))$ (c), $M(x_0 + \delta x_0) - M(x_0)$ (d), $M(x_0)$ (e).

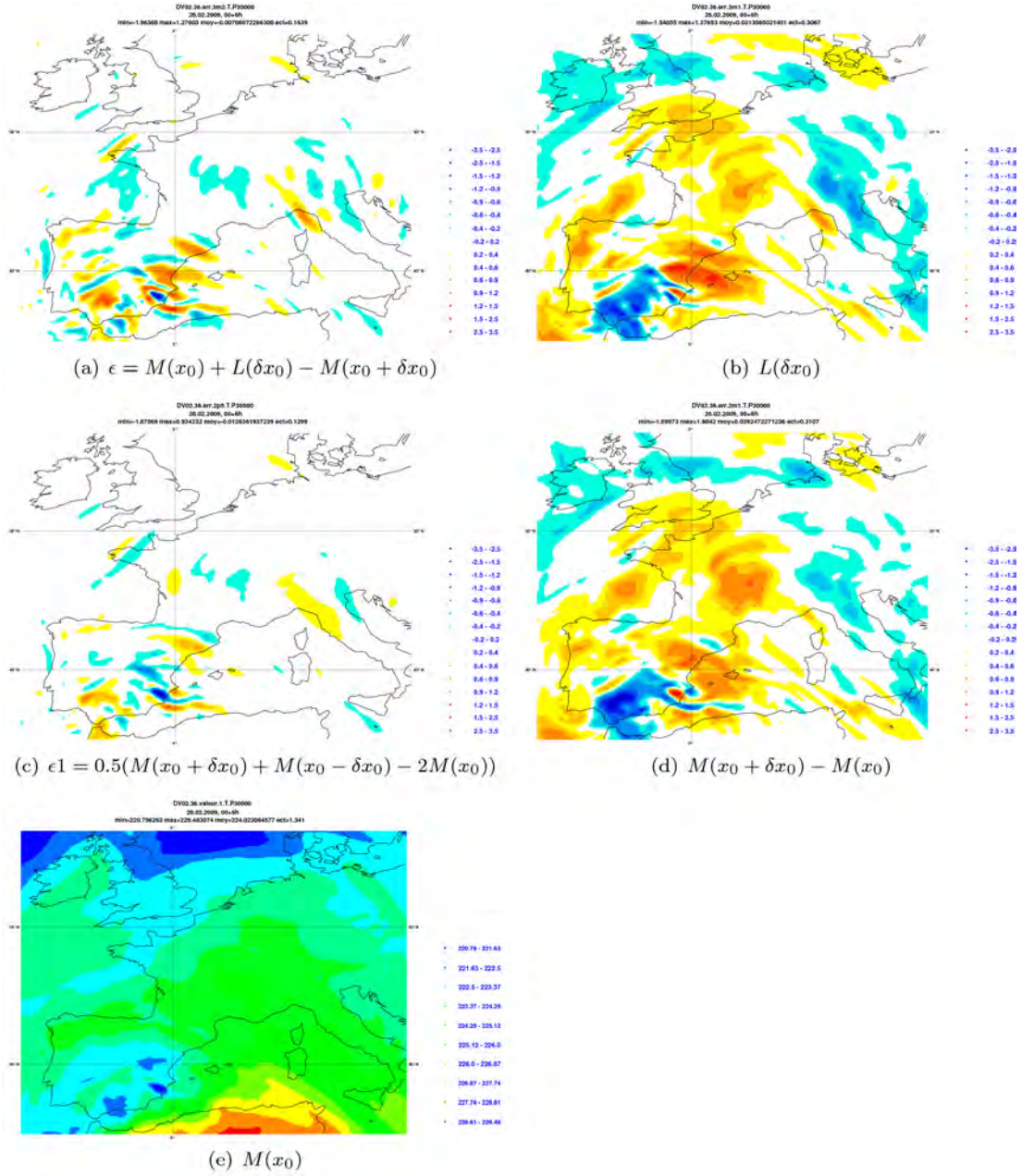


Figure 14: Température sur le domaine franx01, au niveau 300 hPa, exp. DV, le 28.02.2009, 00+6h, pour $\epsilon = M(x_0) + L(\delta x_0) - M(x_0 + \delta x_0)$ (a), $L(\delta x_0)$ (b), $\epsilon_1 = 0.5(M(x_0 + \delta x_0) + M(x_0 - \delta x_0)) - 2M(x_0)$ (c), $M(x_0 + \delta x_0) - M(x_0)$ (d), $M(x_0)$ (e).

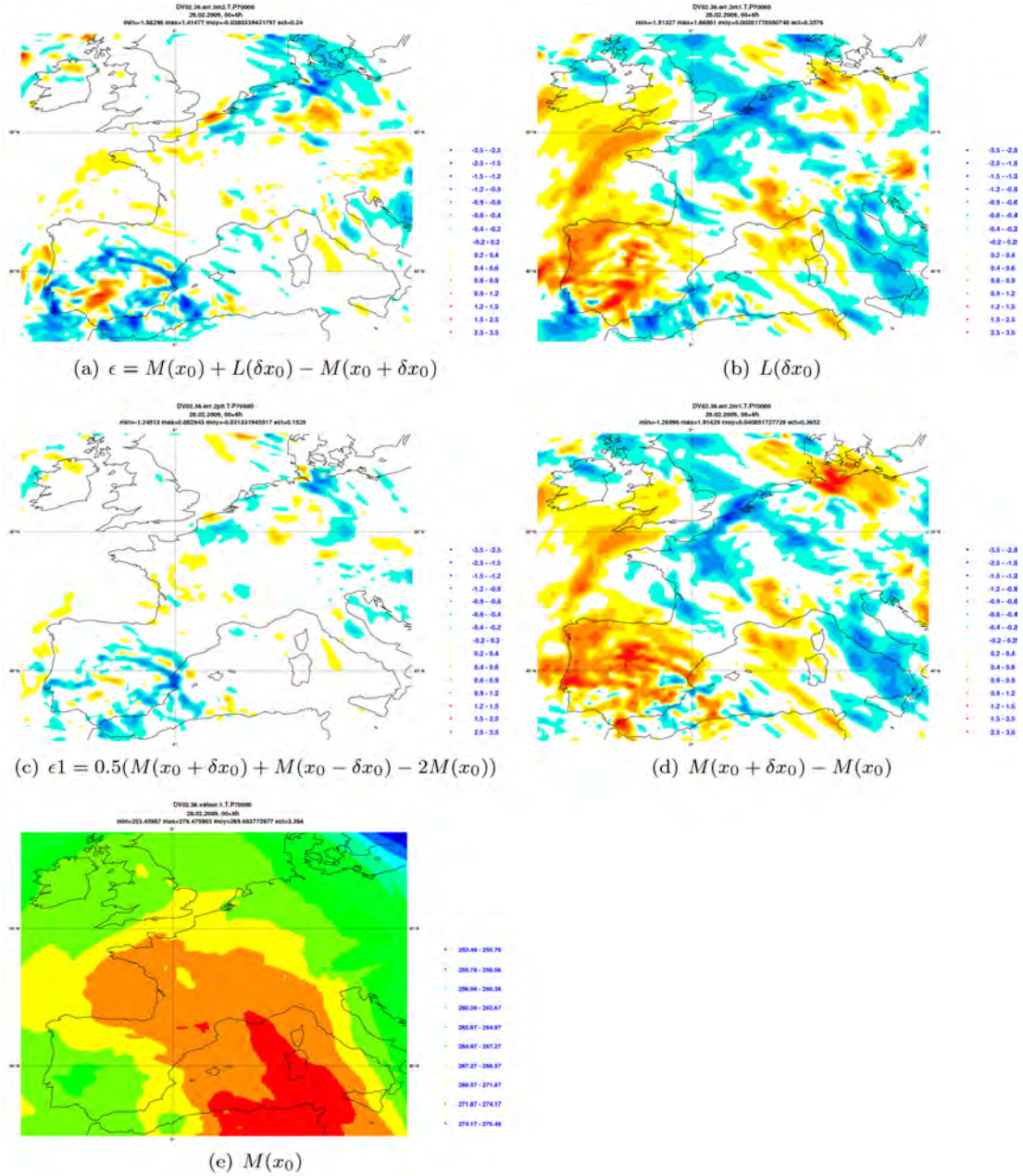


Figure 15: Température sur le domaine franx01, au niveau 700 hPa, exp. DV, le 28.02.2009, 00+6h, pour $\epsilon = M(x_0) + L(\delta x_0) - M(x_0 + \delta x_0)$ (a), $L(\delta x_0)$ (b), $\epsilon_1 = 0.5(M(x_0 + \delta x_0) + M(x_0 - \delta x_0) - 2M(x_0))$ (c), $M(x_0 + \delta x_0) - M(x_0)$ (d), $M(x_0)$ (e).

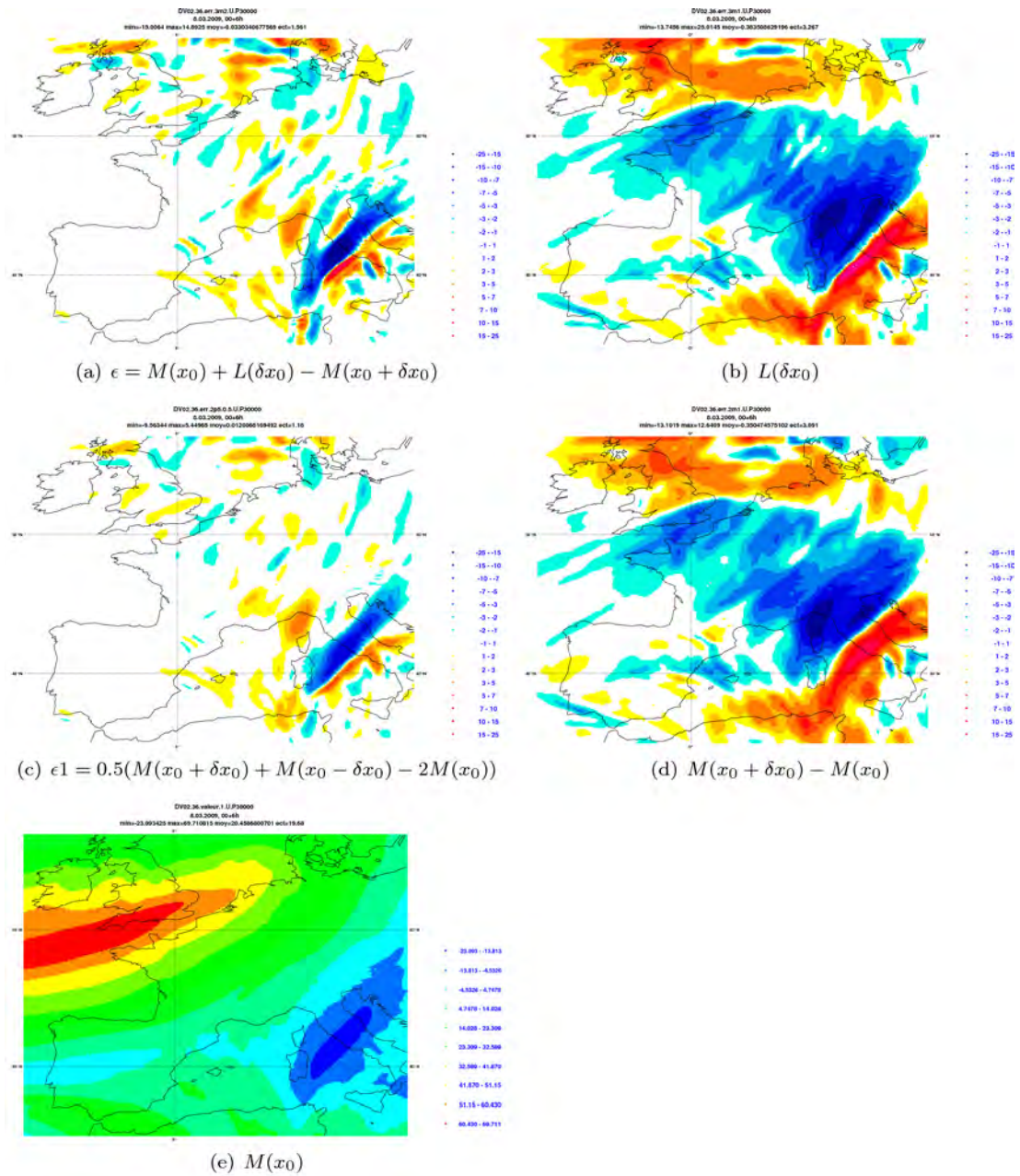


Figure 16: Composante zonale du vent sur le domaine franx01, au niveau 300 hPa, exp. DV, le 8.03.2009, 00+6h, pour $\epsilon = M(x_0) + L(\delta x_0) - M(x_0 + \delta x_0)$ (a), $L(\delta x_0)$ (b), $\epsilon 1 = 0.5(M(x_0 + \delta x_0) + M(x_0 - \delta x_0) - 2M(x_0))$ (c), $M(x_0 + \delta x_0) - M(x_0)$ (d), $M(x_0)$ (e).

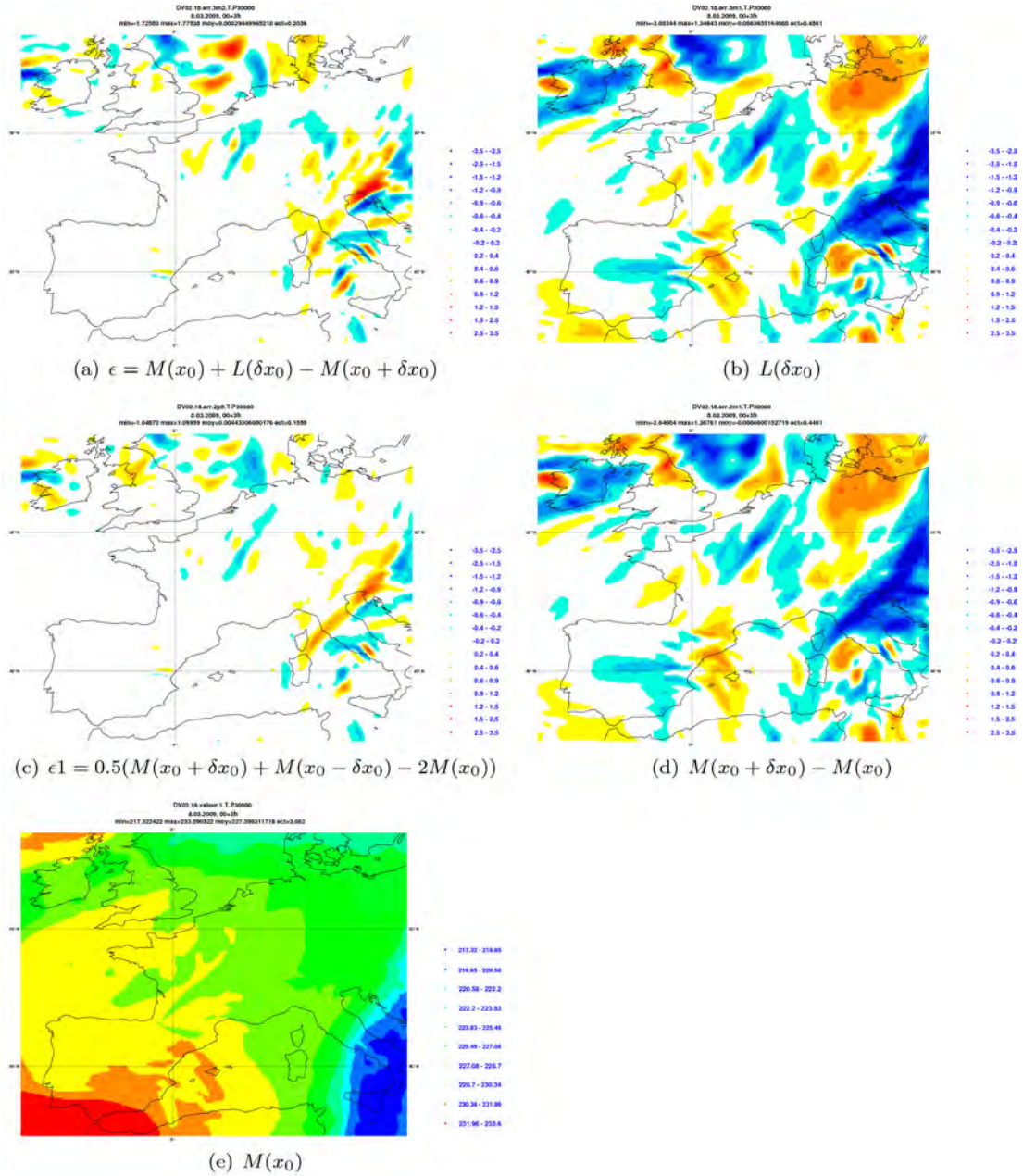


Figure 17: Température sur le domaine franx01, au niveau 300 hPa, exp. DV, le 8.03.2009, 00+3h, pour $\epsilon = M(x_0) + L(\delta x_0) - M(x_0 + \delta x_0)$ (a), $L(\delta x_0)$ (b), $\epsilon_1 = 0.5(M(x_0 + \delta x_0) + M(x_0 - \delta x_0) - 2M(x_0))$ (c), $M(x_0 + \delta x_0) - M(x_0)$ (d), $M(x_0)$ (e).

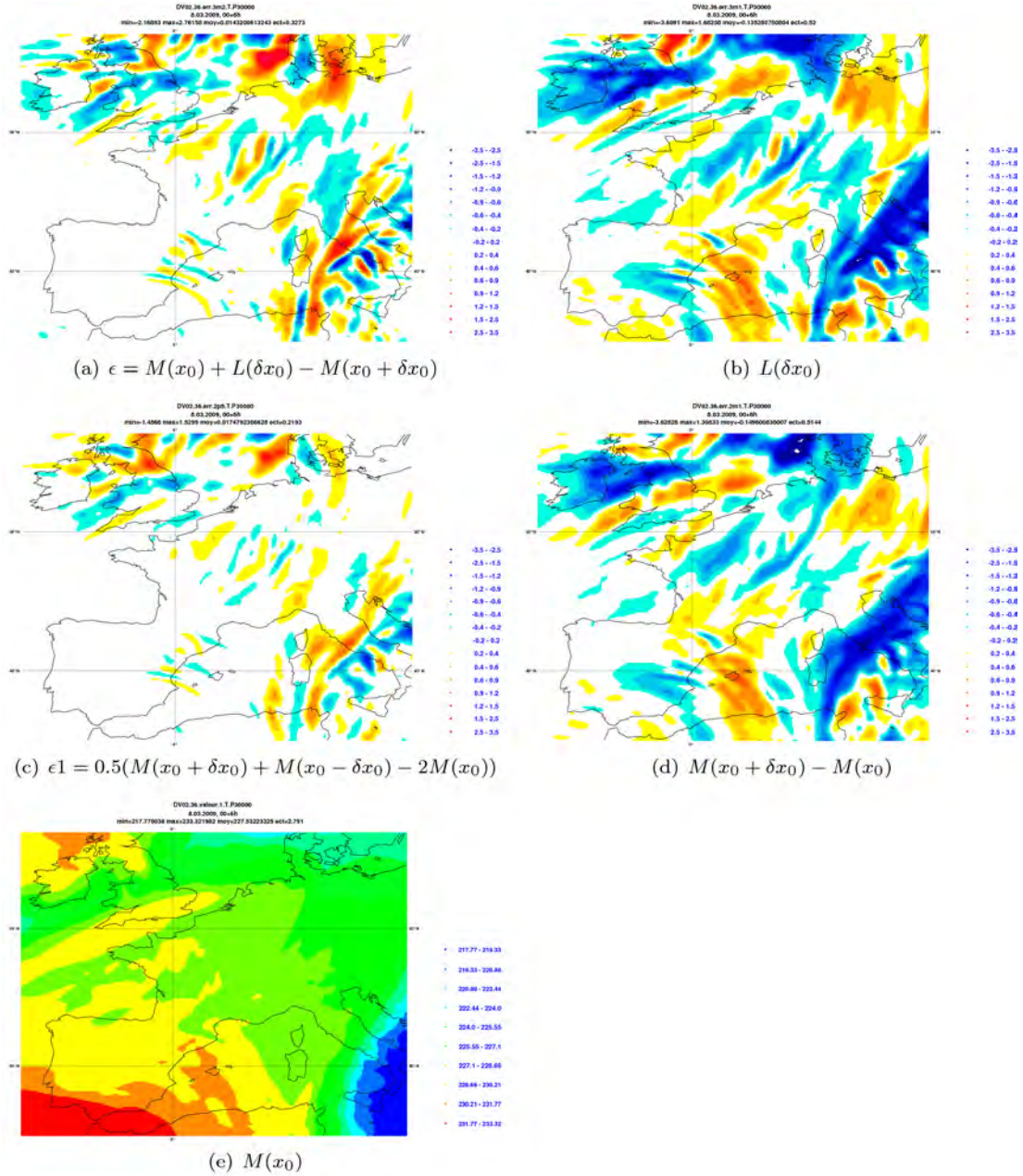


Figure 18: Température sur le domaine franx01, au niveau 300 hPa, exp. DV, le 8.03.2009, 00+6h, pour $\epsilon = M(x_0) + L(\delta x_0) - M(x_0 + \delta x_0)$ (a), $L(\delta x_0)$ (b), $\epsilon_1 = 0.5(M(x_0 + \delta x_0) + M(x_0 - \delta x_0)) - 2M(x_0)$ (c), $M(x_0 + \delta x_0) - M(x_0)$ (d), $M(x_0)$ (e).

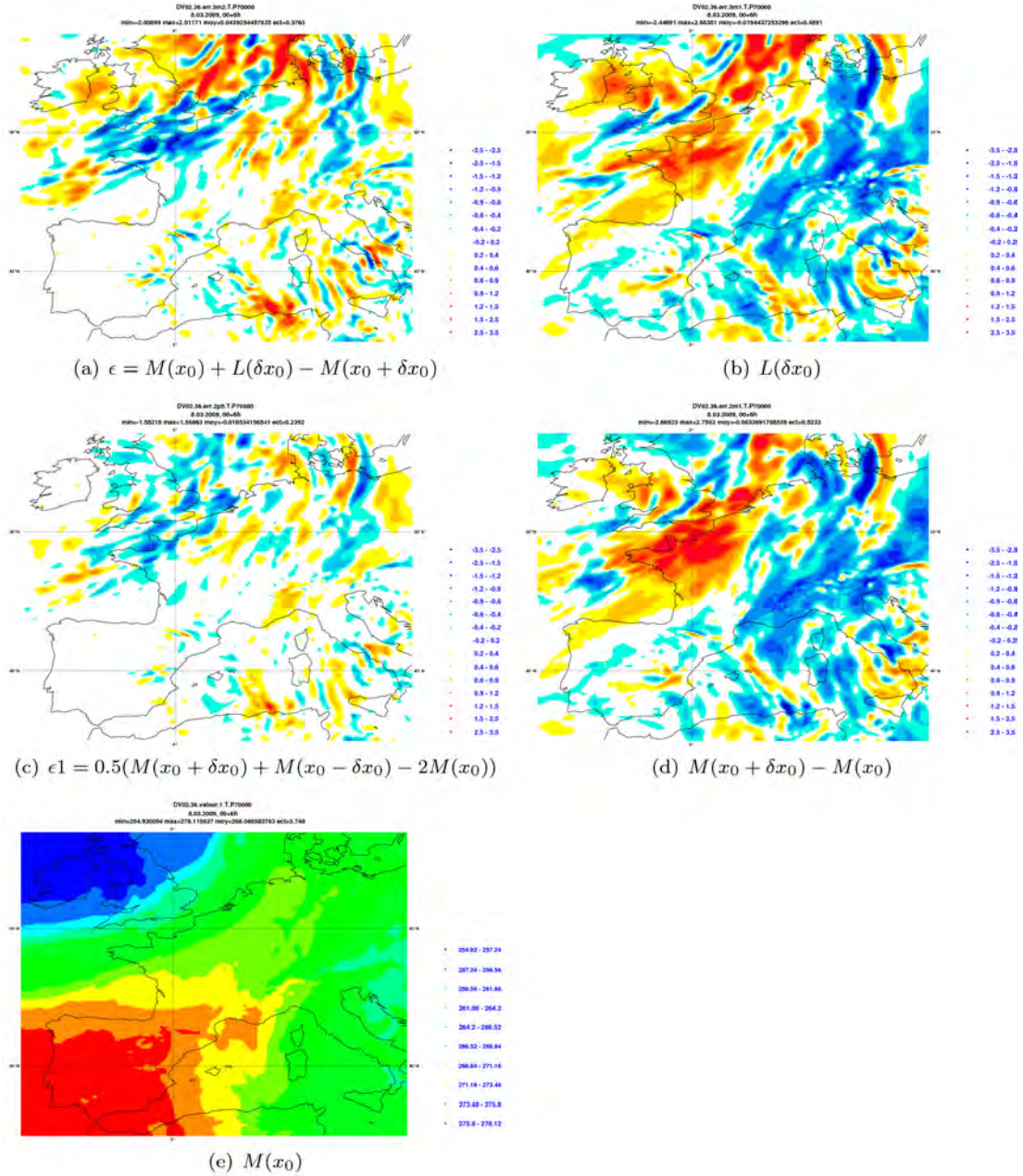


Figure 19: Température sur le domaine franx01, au niveau 700 hPa, exp. DV, le 8.03.2009, 00+6h, pour $\epsilon = M(x_0) + L(\delta x_0) - M(x_0 + \delta x_0)$ (a), $L(\delta x_0)$ (b), $\epsilon_1 = 0.5(M(x_0 + \delta x_0) + M(x_0 - \delta x_0) - 2M(x_0))$ (c), $M(x_0 + \delta x_0) - M(x_0)$ (d), $M(x_0)$ (e).